

III-434

コルゲート杭の周面摩擦抵抗特性に関するモデル実験

(株) ジオトップ (正) 藤内 貞男 (正) 平山 英喜
 同 上 ○ (正) 山下 啓明 染川 常二

1. まえがき

杭周囲になっているコルゲート杭は、通常の直杭よりも大きな周面摩擦抵抗応力 f を発揮する。この要因としては、①コルゲート杭の杭周面は凹凸状であり極めて粗いことから、表面粗さの増加による摩擦係数の増加と、②コルゲート部の支圧的効果、の2つが考えられる¹⁾。

本稿では、比較的表面の滑らかな直杭・コルゲート杭の結果¹⁾に、周面が十分に粗い直杭の実験結果を追加し、①②の要因がコルゲート杭の f にどのように寄与しているかを考察する。

2. 実験方法¹⁾

2. 1 モデル杭

実験に用いたモデル杭は、ステンレススチール製のもので、長さ100cm、径10cmの滑らかな直杭・粗い直杭およびコルゲート杭の3種類である。

コルゲート杭は、図-1に示すように、コルゲート部の凹凸高さ・凸部のピッチが、それぞれ2.5mm・10mmである。

滑らかな直杭は、表面粗さが R_{max} [基準長さ=2.5mm] = 12.3μm である。粗い直杭は、十分粗くするために、滑らかな直杭の周面上に、実験で用いている砂を、接着剤で張り付けて作った。その結果、粗い直杭の径は、10.26cmとなっている。

2. 2 実験土槽・用いた砂

実験土槽は、内径158cm、高さ178cmの大きさで、地盤中の応力状態をシミュレートできるように鉛直圧 σ_v ・側圧 σ_h を与えることができる機構にになっている。

用いた砂は、気乾状態の珪砂6号（愛知県瀬戸産、 $D_{60}=0.360\text{mm}$ ・ $D_{10}=0.195\text{mm}$ ・ $U_c=1.85$ ・ $\rho_{max}=1.597\text{g/cm}^3$ ・ $\rho_{min}=1.264\text{g/cm}^3$ ）である。

2. 3 地盤作成

地盤は、多重フルイ法にて作成した。 $non-displacement pile$ 型の杭を想定するため、土槽底面より70cmの高さまで地盤を作成した後に、杭頭部を固定して杭を設置した。その後、土槽上部

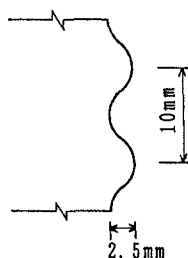


図-1 コルゲート部の拡大図

まで地盤を作成した。地盤作成後、 $\sigma_v=1.0\text{kgf/cm}^2$ ・ $\sigma_h=0.5\text{kgf/cm}^2$ の圧力を約2時間圧縮した後、載荷試験を実施した。実験は、各杭に対して2回づつ実施した。各実験の地盤作成時（圧縮前）および載荷試験前（圧縮後）の地盤の乾燥単位体積重量（ γ_d ）および相対密度（ D_r ）は、圧縮前で $\gamma_d \approx 1.498\text{gf/cm}^3$ ・ $D_r \approx 75\%$ 、圧縮後で $\gamma_d \approx 1.513\text{gf/cm}^3$ ・ $D_r \approx 79\%$ であった。

2. 4 載荷試験

載荷試験は、沈下制御方式で貫入速度を1mm/minで行い、杭頭沈下量5cmごとに除荷し、4サイクルで沈下量20cmまで実施し、displacement pileとしての挙動も調べた。

試験終了後、砂の掘り出し時に、地盤作成時に杭軸周辺にまき出した色砂層、先端地盤の観察や改良型ポケットペネトロメーターによる杭周辺地盤の強度測定を行った。

3. 実験および観察結果

各杭の周面摩擦抵抗応力-沈下量関係を図-2に示す。この図は、2回実験した結果の平均値を示したものである。図中の f は、先端沈下に伴う先端付近部のゆるみの影響を取り除いたため、杭中央部（杭先端から35~75cmの間）のデータから算定している。滑らかな杭・粗い杭・コルゲート杭における応力算定の際の杭径は、10cm・10.26cm・10cmとした。図-2より、以下のような事が分かる。

① 粗い杭・コルゲート杭の f_{max} は、滑らかな杭より約2.5倍大きく、残留時の f も約3倍大きい。

② 粗い杭の f は、杭径の200%沈下させても減少傾向にあり完全な残留状態には達していないが、最終沈下量において、コルゲート杭の f と比較すると、コルゲート杭の方が大きい。

杭軸周辺にまき出した色砂層の観察では、滑らかな杭では杭周面に接してほぼそのまま残っていた¹⁾。粗い杭・コルゲート杭¹⁾では、杭周面より約3mmの部分の色砂層は下方に移動していた。これらのことより、杭周でのすべり面は、滑らかな杭では砂と杭周との接触面で、粗い杭・コルゲート杭では、砂中で発生したと判断できる。

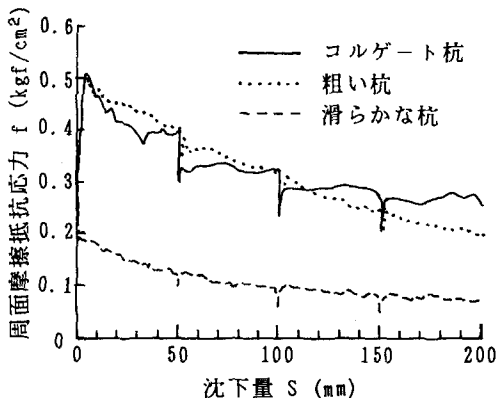


図-2 周面摩擦抵抗応力-沈下量関係

各杭において、掘り出し時に杭周辺地盤で強度測定をした結果、コルゲート杭のみ杭周から2~3cmの範囲において、それより離れた地盤よりコーン値が約1.7倍大きかった。

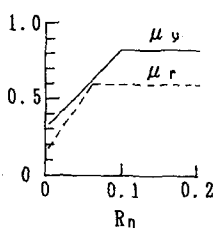
図は省略するが、先端抵抗は粗い杭とコルゲート杭ではほぼ同じであり、滑らかな杭より約1.2倍大きく、周面抵抗の相違が先端抵抗に影響することが認められたが、詳細については別の機会に報告する。

4. 考察

4.1 表面粗さと摩擦係数の関係

単純せん断試験を用いた砂と鋼材の摩擦試験において、ピーク時摩擦係数(μ_y)と正規化粗さ $R_n = R_{max}/D_{50}$ の間には、図-3の実線のような関係があることが指摘されている²⁾。図-3の破線は、砂の平均粒径 D_{50} は、砂の平均粒径で、 R_{max} は、 D_{50} を基準長さとした時の鋼材の表面粗さである。すなわち、砂の種類にもよるが R_n が約0.1以下では μ_y は R_n に比例し、すべりは接触面で生じる。 R_n が0.1程度より大きくなると、すべりは砂中で生じ、 μ_y は上限値を示し、その値は砂のせん断特性で決まる。また、上杉²⁾および山肩ら³⁾の実験結果より、残留時の摩擦係数(μ_r)と R_n の関係を整理すると、図-3の破線のような傾向を示す。つまり、 μ_y が一定となる R_n より小さい R_n で、 μ_r は上限値を示し一定になる。

本実験で用いた杭の R_n と、図-2よりピーク時

図-3 μ と R_n の関係表-1 本実験における $R_n \cdot \mu_y \cdot \mu_r$

杭の種類	R_n	μ_y	μ_r
コルゲート杭	7.6	1.02	0.54
粗い杭	0.5 ²⁾	1.00	0.40
滑らかな杭	0.04	0.38	0.14

*1 : $S=200\text{mm}$ の時の値

*2 : 砂粒子を等粒径の球と仮定して算定

および最終沈下量時の摩擦係数を計算した結果を表-1に示す。なお、摩擦係数を計算する時の杭周面垂直方向の応力は、 0.5kgf/cm^2 とした。

4.2 ピーク時の摩擦抵抗

前章①で述べたように、コルゲート杭の f_{max} は粗い杭とはほぼ同じであった。したがって、図-3よりコルゲート杭の f_{max} に及ぼす要因としては、周面の凹凸による表面粗さのみが影響していると判断できる。しかし、図-3から外挿すると、本実験のコルゲート杭では、凹凸高さが 2.5mm であるので D_{50} が $2\sim 3\text{mm}$ 以上の砾でなければ、接触面ですべる可能性はないと考えられる。このことより、コルゲート杭は、砂から砾にいたる広い範囲の粗粒土に対して、ピーク時摩擦係数 μ_y が土のせん断特性で決まる非常に表面の粗い杭になると推察される。

4.3 残留時の摩擦抵抗

図-3の示したように、 μ_r は μ_y が上限値を示す R_n 以上であれば、確実に一定値を示す。このことより、コルゲート杭の凸部による締固め効果がなければ、コルゲート杭と粗い杭の残留時の f は、同じになると考えられる。しかし、本実験結果では、前章②で述べたように、最終沈下量においてコルゲート杭の f が大きくなっている。したがって、コルゲート杭の残留時の f には、コルゲート部の支圧的効果も影響すると考えられる。これは、コルゲート杭の杭周のごく近傍の地盤において、コーン値が大きかったことからも裏付けられる。したがって、コルゲート杭を、displacement pile型の杭として用いる時は、締固め効果による摩擦抵抗の増加が期待できる可能性がある。

参考文献

- 1) 藤内・山下・上紹屋・平山 (1991) : "砂中の筋杭・コルゲート杭のモデル実験", 第26回土質工学研究発表会, pp. 1351-1354
- 2) Uesugi, M. (1987) : "Friction between dry sand and construction materials", D. Eng. Thesis, Tokyo Institute of Technology
- 3) 山肩ら (1990) : "中型単純せん断試験機を用いた砂～鋼板間の摩擦試験(その1)", 第25回土質工学研究発表会, pp. 709-710